

5. előadás:

A mérőjel terjedéséhez kapcsolódó hibák (troposzféra). A jelek vételéhez kapcsolódó hibák (ciklusugrás, fáziscentrum-külpontosság, többutas terjedés)

A légkör felső rétegének az ionoszféra hatásának a tárgyalása után térjünk át a troposzféra hatásának ismertetésére. Ezt követően – ahogy a műholdak által sugárzott jelek egyre közelebb kerülnek a vevő antennájához – át fogunk térni a jelek vételéhez kapcsolódó hibák tárgyalására.

5.1. A troposzféra hatása

Mivel a troposzférában található a légkör tömegének nagy része ideértve a vízpárát is, ezért a troposzférában a törésmutató értéke mindig nagyobb mint 1. A troposzféra nem diszperzív közeg, azaz ugyanakkor és ugyanolyan irányú hatást fejt ki mind a kód és a fázismérésekre, mind pedig a különböző frekvencián végzett észlelésekre. Emiatt nem kell megkülönböztetnünk csoport-, és fázissebességeket a troposzférán belül.

A troposzféra törésmutatójának értéke függ a légnyomástól, hőmérséklettől és parciális párányomástól. Annak érdekében, hogy számszerűsíteni tudjuk a troposzféra okozta késleltetés mértékét vezessük be a refraktivitás fogalmát:

$$N = (n - 1) \cdot 10^{-6} \quad (5.1)$$

Megjegyezzük, hogy a refraktivitás 10^{-6} szorosa értelmezhető úgy is, mint a troposzféra okozta hatás pontbeli értéke.

A teljes troposzféra okozta hatás az ún. Thayer-integrállal határozható meg:

$$T = 10^{-6} \int N ds \quad (5.2)$$

Smith és Wientraub kimutatta, hogy a 30GHz-nél kisebb frekvenciájú rádióhullámokra a troposzféra okozta hatás kettéválasztható a „száraz” levegő hatására és a „vízpára” hatására:

$$T = T_d + T_w = 10^{-6} \int N_d ds + 10^{-6} \int N_w ds \quad (5.3)$$

A troposzféra okozta hatás meghatározásához az alábbi kérdéseket kell megválaszolnunk:

1. Mekkora a törésmutató (v. a refraktivitás) pontbeli értéke?
2. Hogyan számítható ki a refraktivitás ismeretében a troposzféra késleltető hatása?
3. Hogyan változik ez a pontbeli érték a magasság változásával a helyi zenit irányban?
4. Hogyan számítható ki a zenitirányú változásból (vagy javításból) a tetszőleges műholdirányú változás (v. javítás)?

A refraktivitás pontbeli értékének meghatározására az Essen-Froome képlet használható:

$$N = k_1 \frac{p_d}{T \cdot Z_d} + k_2 \frac{e}{T \cdot Z_w} + k_3 \frac{e}{T^2 \cdot Z_w} \quad (5.4)$$

ahol p_d a száraz levegő légnyomása hektopaszskában, e a parciális párányomás, T a hőmérséklet Kelvinben, k_1, k_2, k_3 tapasztalati konstansok, értékei rendre 0,7760 K/Pa, 0,704 K/Pa valamint $0,03739 \times 10^5$ K²/Pa, míg Z_d és Z_w a száraz levegő és a vízgőz kompresszibilitási tényezője.

A fenti paraméterek közül az e parciális pányomás és a T hőmérséklet mérhető, a száraz levegő nyomása azonban nem. A parciális pányomás meghatározható például száraz-nedve hőmépárral:

$$e = e'_{\max} - A \cdot p(t - t') \quad (5.5)$$

ahol e'_{\max} a vízgőzzel telített levegő maximális pányomása a t' hőmérsékleten, p a lényomás, míg t és t' a száraz és a nedves hőmépőn leolvasott hőmérséklet értékek.

Annak érdekében, hogy a száraz levegő lényomása helyett a mérhető teljes lényomás segítségével tudjuk leírni a refraktivitás értékét, röviden tekintsük át az ideális és a valós gázok állapotegyenleteit.

Ideális gázok esetében az állapotegyenlet a jól ismert alakban írható fel:

$$p \cdot V = n \cdot R \cdot T \quad (5.6)$$

ahol p a gáz nyomása, V a térfogata, n a gázban található molekulák száma, T a hőmérséklet, míg R az egyetemes gázállandó.

Valós gázok esetén az ideális gázok állapotegyenlete korrekciókra szorul a molekulák okozta kohéziós erők, illetve a molekulák mérete miatt. Az valódi gázok állapotegyenletének egyik alakja a van der Waals egyenlet:

$$\left(p + \frac{n^2 a}{V^2} \right) (V - n \cdot b) = n \cdot R \cdot T \quad (5.7)$$

ahol a és b együtthatók kísérleti úton meghatározott együttható, a a molekulák közötti kohéziós erők hatását veszi figyelembe, míg b a molekulákban lévő részecskék saját térfogatától függ.

Átrendezve a van der Waals egyenletet, értelmezhető az a és b paraméterek jelentése is:

$$p = \frac{n \cdot R \cdot T}{V - n \cdot b} - a \frac{n^2}{V^2} \quad (5.8)$$

Vezessük be a kompresszibilitási tényező fogalmát az alábbiak szerint:

$$Z = \frac{p \cdot V_m}{R \cdot T} = \frac{p \cdot V}{n \cdot R \cdot T} = \frac{V}{V - n \cdot b} - \frac{a \cdot n}{R \cdot T \cdot V} = \frac{1}{1 - \left(\frac{n \cdot b}{V}\right)} - \frac{a \cdot n}{R \cdot T \cdot V} \quad (5.9)$$

ahol V_m a moltérfogat. Megjegyezzük, hogy ideális gázokra mivel a pV és az nRT szorzatok egyenlőek, így $Z=1$.

A fentiek alapján a valódi gázok állapotegyenlet az alábbi alakban is felírható:

$$p \cdot V = n \cdot R \cdot Z \cdot T \quad (5.10)$$

A következőkben helyettesítsük be a gáz sűrűségét az egyenletbe:

$$\begin{aligned}
 p \cdot V &= n \cdot R \cdot Z \cdot T \quad \text{és} \quad n = \frac{m}{M} \\
 &\Downarrow \\
 p \cdot V &= \frac{m}{M} \cdot R \cdot Z \cdot T \quad \text{mivel} \quad \rho_i = \frac{m}{V}, \text{ és } R_i = \frac{R}{M} \\
 &\Downarrow \\
 p_i &= \rho_i R_i Z_i T_i
 \end{aligned} \tag{5.11}$$

ahol R_i az adott gáz specifikus gázállandója, például vízpára esetén $R_w=461,5$ J/kg/K, míg a száraz levegőre $R_d=286,9$ J/kg/K.

A következő lépésben helyettesítsük be az (5.11) egyenletből kifejezett parciális nyomásokat az Essen-Froome egyenletbe (5.4):

$$\begin{aligned}
 p_d &= \rho_d R_d Z_d T_d \\
 p_w &= e = \rho_w R_w Z_w T_w \\
 T_d &= T_w = T \\
 &\Downarrow \\
 N &= k_1 R_d \rho_d + k_2 R_w \rho_w + k_3 \frac{R_w \rho_w}{T}
 \end{aligned} \tag{5.12}$$

Mivel sem a száraz levegő parciális nyomása, sem pedig a sűrűsége nem mérhető közvetlenül, ezért számítsuk ki értékét a teljes légnyomás és a parciális páranomás különbségeként:

$$p_d = p - e \quad \text{és} \quad \rho_d = \rho - \rho_w \tag{5.13}$$

így:

$$N = k_1 R_d \rho + \left(k_2 - k_1 \frac{R_d}{R_w} \right) R_w \rho_w + k_3 \frac{R_w \rho_w}{T} \tag{5.14}$$

a sűrűségek helyett a hőmérséklet és a parciális nyomások alapján is felírható a refraktivitás értéke:

$$N = k_1 R_d \rho + \left(k_2 - k_1 \frac{R_d}{R_w} \right) \frac{e}{Z_w T} + k_3 \frac{e}{Z_w T^2} \tag{5.15}$$

Fel kell hívnunk a figyelmet arra, hogy az (5.14) és (5.15) képlet első tagja már nem csak a „száraz” levegő hatását tartalmazza, hanem az ún hidrosztatikus egyensúlyban lévő levegő hatását. Emiatt mindkét képlet első tagját hidrosztatikus résznek, míg a fennmaradó tagokat „nedves” résznek hívjuk.

Mint azt már láttuk, Smith és Weintraub szerint a zenitirányú teljes késleltetés kettéválasztható egy hidrosztatikus és egy nedves részre:

$$ZTD = ZHD + ZWD = 10^{-6} \int N_d ds + 10^{-6} \int N_w ds \tag{5.16}$$

Az (5.14) egyenletet beírva (5.16)-ba, megkaphatjuk a troposzféra okozta késleltetés értékét:

$$\begin{aligned}
 ZTD = ZHD + ZWD = & 10^{-6} \cdot k_1 \cdot R_d \int_{z_{ant}}^{tfh} \rho \, ds + 10^{-6} \cdot \left(k_2 - k_1 \frac{R_d}{R_w} \right) R_w \int_{z_{ant}}^{tfh} \rho_w \, ds + \\
 & + 10^{-6} \cdot k_3 \cdot R_w \int_{z_{ant}}^{tfh} \frac{\rho_w}{T} \, ds
 \end{aligned} \tag{5.17}$$

Az egyenlet első tagja fejezi ki a hidrosztatikus késleltetés értékét, míg a 2. és 3. tagok a vízpára hatását tartalmazzák.

A troposzféra okozta késleltetés egyrésztől meghatározható az (5.17) képlet segítségével a rádiószondás mérésekkel előállított légnyomás, hőmérséklet és parciális párányomás profilokból. Mivel azonban ilyen rádiószondás méréseket mind időben, mind térben ritkán hajtanak végre, ezért a GNSS mérések feldolgozása során a troposzféra okozta késleltetést különféle modellekkel vesszük figyelembe.

A modellek közös jellemzője, hogy a vevő szintjében mért vagy modellezett meteorológiai paraméterektől függenek (légnyomás, hőmérséklet, relatív páratartalom).

5.1.1. A meteorológiai paraméterek meghatározása

A troposzféra okozta késleltetés értékének meghatározásához szükségünk lehet alapvetően három féle meteorológiai paraméterre (légnyomás, parciális párányomás és hőmérséklet). Ezeket a meteorológiai paramétereket meteorológiai állomások méréseiből határozhatjuk meg.

A legtöbb esetben azonban eltekinthetünk a meteorológiai paraméterek meghatározásától, és azokat a standard atmoszféramodellek segítségével is loszámíthatjuk. Több ilyen standard atmoszféramodell (US, ISO, ICAO, stb.) is létezik, de a 32 km-es tengerszint feletti magasságig, ami nagyon jól lefedi a felhasználási területet, ugyanazokkal a paraméterekkel írhatóak le:

$$\begin{aligned}
 T &= T_0 - 0,0065h, \\
 p &= p_0 \left(1 - 2,26 \cdot 10^{-5} h \right)^{5,225}, \\
 RH &= RH_0 e^{-6,396 \cdot 10^{-4} h}.
 \end{aligned} \tag{5.18}$$

ahol T a hőmérséklet, p a légnyomás és RH a relatív páratartalom, e pedig az Euler-szám. A tengerszintre ($h=0$) megadott referenciaértékek:

$$\begin{aligned}
 T_0 &= 291,16K \quad (T = +18^\circ C), \\
 p_0 &= 1013,25hPa \\
 RH_0 &= 50\%.
 \end{aligned} \tag{5.19}$$

A meteorológiai paraméterek közül szükségünk lehet a parciális párányomás meghatározására (e). Erre több munkaképlet is rendelkezésünkre áll. A Meteorológiai Világszervezet (WMO) ajánlása szerint a telített vízgőz parciális párányomása az alábbi képlettel számítható ki:

$$e_w = 6.112 \cdot e^{\frac{17.62T}{243.12+T}}, \tag{5.20}$$

ahol T a hőmérséklet °C fokban, e az Euler-szám míg a telített vízgőz parciális párányomását hPa egységben kapjuk meg.

A vízgőz parciális párányomását a telített vízgőz parciális párányomása és a relatív páratartalom szorzataként kapjuk:

$$e = \frac{RH}{100} \cdot e_w, \quad (5.21)$$

ahol RH a relatív páratartalom %-ban kifejezett értéke.

5.1.2. A Hopfield modell

Hopfield modelljében a refraktivitás hidrosztatikus összetevőjére a következő képletet állította fel az álláspont feletti h magasság függvényében:

$$N_d(h) = N_{d,0} \left(\frac{h_d - h}{h_d} \right)^4, \quad \text{ahol } h_d = 40136 + 148,72(T - 273,16) \quad (5.22)$$

ahol $N_{d,0}$ a refraktivitás értéke az állásponton mért meteorológiai adatokból, h_d a troposzféra vastagsága az álláspont felett, míg T a hőmérséklet az állásponton.

Az (5.22) képlet h szerinti integrálásával megkaphatjuk a zenit irányú hidrosztatikus késletetés értékét:

$$\begin{aligned} ZHD &= 10^{-6} N_{d,0} \int_{h=0}^{h=h_d} \left(\frac{h_d - h}{h_d} \right)^4 dh = 10^{-6} N_{d,0} \frac{1}{h_d^4} \left[-\frac{1}{5} (h_d - h)^5 \right]_{h=0}^{h=h_d} \\ &\quad \Downarrow \\ ZHD &= \frac{10^{-6}}{5} N_{d,0} h_d \end{aligned} \quad (5.23)$$

A „nedves” összetevő pedig:

$$ZWD = \frac{10^{-6}}{5} N_{w,0} h_w \quad \text{ahol } h_w = 11000m \quad (5.24)$$

4. feladat

Határozzuk meg a BUTE állomáson egy 64°-os magassági szög alatt látható műholdra ható troposzférikus késletetés értékét!

Az állomás tengerszint feletti magassága: 134,17 m

A meteorológiai paramétereket határozzuk meg standard atmoszféra modellek segítségével!

1. A meteorológiai paraméterek a BUTE állomáson:

$$T = 291,16 - 0,0065 \cdot 134,17 = 290,29K,$$

$$p = 1013,25 \left(1 - 2,26 \cdot 10^{-5} \cdot 134,17 \right)^{5,225} = 997,30hPa,$$

$$RH = 0,50 \cdot e^{-6,396 \cdot 10^{-4} \cdot 134,17} = 45,9\%.$$

2. A troposféra vastagsága az álláspont felett:

$$h_d = 40136 + 148,72(290,29 - 273,16) = 42683,26m$$

3. A „száraz” refraktivitás a tengerszinten (h=0):

$$N_{d,0} = k_1 \left[\frac{P}{T} \right]_{h=0} = 77,6 \left[\frac{K}{hPa} \right] \frac{997,30[hPa]}{290,29[K]} = 266,6$$

4. Számítsuk ki a hidrosztatikus késleltetés értékét a vevő magasságában:

$$ZHD = \frac{10^{-6}}{5} N_{d,0} h_d = \frac{10^{-6}}{5} 266,6 \cdot h_d = 2,28m$$

5. Számítsuk ki a telített vízgőz parciális nyomását, majd a vízgőz parciális nyomását az állásponton:

$$e_w = 6.112 \cdot e^{\frac{17,62T}{243,12+T}} = 19,48 hPa,$$

$$e = \frac{RH}{100} \cdot e_w = 0,459 \cdot 19,48 hPa = 8,94 hPa$$

7. Határozzuk meg a nedves refraktivitás értékét az álláspontban:

$$N = k_2 \frac{e}{T} + k_3 \frac{e}{T^2} = 70,4 \left[\frac{K}{Pa} \right] \frac{8,94[hPa]}{290,29[K]} + 3,739 \cdot 10^5 \left[\frac{K^2}{Pa} \right] \frac{8,94[hPa]}{290,29^2[K]} = 41,85$$

8. A nedves késleltetés értékét kiszámíthatjuk az (5.22) képlettel:

$$ZWD = \frac{10^{-6}}{5} N_{w,0} h_w = \frac{10^{-6}}{5} \cdot 41,85 \cdot 11000 = 0,09m$$

9. A teljes zenitirányú késleltetés tehát:

$$ZTD = ZHD + ZWD = 2,37m$$

5.1.3. A Black-modell

Black modelljében a hidrosztatikus összetevőt a következő képlettel határozta meg:

$$N_d(h) = N_{d,0} \left(\frac{h_d - h}{h_d} \right), \quad \text{ahol } h_d = 148,98(T - 4,12), \quad (5.25)$$

A nedves összetevőt pedig:

$$ZWD = k_w, \quad (5.26)$$

ahol $k_w=0,28m$ a trópusokon és nyáron a mérsékelt égöv alatt, $0,20m$ tavasszal és ősszel a mérsékelt égöv alatt, $0,12m$ télen az óceáni éghajlat területén, $0,06$ télen a kontinentális éghajlat területén, míg $0,05$ a sarkvidéki területeken.

Megjegyezzük, hogy a Black modell hidrosztatikus összetevője nagyon jól egyezik a Hopfield modell hasonló összetevőjével, az eltérés általában nem haladja meg az 1%-ot.

5. feladat

Határozzuk meg a BUTE állomáson egy 64°-os magassági szög alatt látható műholdra ható troposferikus késleltetés értékét a Black-féle modell segítségével!

Az állomás tengerszint feletti magassága: 134,17 m

A meteorológiai paramétereket határozzuk meg standard atmoszféra modellek segítségével!

1. A meteorológiai paraméterek a BUTE állomáson:

$$T = 291,16 - 0,0065 \cdot 134,17 = 290,29K,$$

$$p = 1013,25 \left(1 - 2,26 \cdot 10^{-5} \cdot 134,17\right)^{5,225} = 997,30hPa,$$

$$RH = 0,50 \cdot e^{-6,396 \cdot 10^{-4} \cdot 134,17} = 45,9\%.$$

2. A troposféra vastagsága az álláspont felett:

$$h_d = 148,98(T - 4,12) = 42633,29m$$

3. A „száraz” refraktivitás a tengerszinten (h=0):

$$N_{d,0} = k_1 \left[\frac{p}{T} \right]_{h=0} = 77,6 \left[\frac{K}{hPa} \right] \frac{997,30[hPa]}{290,29[K]} = 266,6$$

4. Számítsuk ki a hidrosztatikus késleltetés értékét a vevő magasságában:

$$ZHD = \frac{10^{-6}}{5} N_{d,0} h_d = \frac{10^{-6}}{5} 266,6 \cdot h_d = 2,27m$$

5. A nedves késleltetés értéke tavasszal mérsékelt égöv alatt:

$$ZWD = 0,20m$$

9. A teljes zenitirányú késleltetés tehát:

$$ZTD = ZHD + ZWD = 2,47m$$

5.1.4. A Saastamoinen modell

Az előbbi modellekkel mindig zenitirányú késleltetést határozunk meg, amit aztán a leképezési függvénnyel kell a műhold irányára átszámítani. A Saastamoinen-modell ezzel szemben a teljes műholdirányú késleltetést adja meg:

$$TD = \frac{0,002277}{\cos z} \left[p + \left(\frac{1255}{T} + 0,05 \right) e^{-\tan^2 z} \right] \quad (5.27)$$

ahol z a műhold irányának zenitszöge.

6. feladat

Határozzuk meg a BUTE állomáson egy 64° -os magassági szög alatt látható műholdra ható troposferikus késleltetés értékét a Saastamoinen-modell segítségével!

Az állomás tengerszint feletti magassága: 134,17 m

A meteorológiai paramétereket határozzuk meg standard atmoszféra modellek segítségével!

1. A meteorológiai paraméterek a BUTE állomáson:

$$T = 291,16 - 0,0065 \cdot 134,17 = 290,29K,$$

$$p = 1013,25 \left(1 - 2,26 \cdot 10^{-5} \cdot 134,17\right)^{5,225} = 997,30hPa,$$

$$RH = 0,50 \cdot e^{-6,396 \cdot 10^{-4} \cdot 134,17} = 45,9\%.$$

2. Számítsuk ki a telített vízgőz parciális nyomását, majd a vízgőz parciális nyomását az állásponton:

$$e_w = 6.112 \cdot e^{\frac{17,62T}{243,12+T}} = 19,48 hPa,$$

$$e = \frac{RH}{100} \cdot e_w = 0,459 \cdot 19,48 hPa = 8,94 hPa$$

3. A teljes műhold irányú késleltetés pedig:

$$TD = \frac{0,002277}{\cos 26^\circ} \left[997,30 + \left(\frac{1255}{290,29} + 0,05 \right) 8,94 - \tan^2 26^\circ \right] = 2,62m$$

5.1.5. A finomított Saastamoinen modell (modified Saastamoinen model)

Saastamoinen a későbbiekben tovább finomítottam modelljét két további korrekciós tényező bevezetésével. Így a teljes késleltetés:

$$TD = \frac{0,002277}{\cos z} \left[p + \left(\frac{1255}{T} + 0,05 \right) e - B \tan^2 z \right] + \delta R \quad (5.28)$$

ahol B a vevő tengerszint feletti magasságától függő korrekciós tényező, míg δR a vevő tengerszint feletti magasságától és a műhold zenitszögétől függő tényező.

A korrekciós tényezők e célra szolgáló táblázatokból interpolálhatóak, vagy az alábbi képletekkel határozhatóak meg:

$$B = 1,1549 - 0,1551h + 0,0074h^2$$

$$\delta R = -0,0164 + 0,0027h - 0,00025h^2 + \frac{0,3773 - 0,0675h + 0,0043h^2}{82,7119 - z} \quad (5.29)$$

ahol h az antenna magassága km egységben.

5.1.6. A műhold irányú késleltetés meghatározása

Az egyes modellek által meghatározott zenitirányú késleltetéseket át kell számítanunk műhold irányú értékké. E célra a leképezési függvények szolgálnak. A **Hopfield-modellben** a leképezési függvények értéke a hidrosztatikus és a nedves késleltetésre az alábbiak szerint számítható:

$$F_d(E) = \frac{1}{\sin \sqrt{E^2 + 6,25}}, \quad \text{és} \quad F_w(E) = \frac{1}{\sin \sqrt{E^2 + 2,25}} \quad (5.30)$$

ahol E a műhold magassági szöge.

Black modelljében a leképezési függvények kissé bonyolultabb alakúak:

$$F_d(E) = \frac{1}{\sqrt{1 - \left[\frac{\cos E}{1 + (1-l_c) \frac{h_d}{r_s}} \right]^2}}, \quad \text{és} \quad F_w(E) = \frac{1}{\sqrt{1 - \left[\frac{\cos E}{1 + (1-l_c) \frac{h_w}{r_s}} \right]^2}} \quad (5.31)$$

ahol $l_c=0,85$ ($E>5^\circ$), $h_w=13000\text{m}$, r_s az álláspontba mutató geocentrikus helyvektor hossza.

A Niell-féle leképezési függvényt a Saastamoinen-modellel együtt használják. Miután kiszámítjuk a Saastamoinen-modellel a hidrosztatikus és a nedves késleltetés értékét zenit irányban ($z=0$), ezt követően a Niell-féle leképezési függvénnyel számíthatjuk ki a műhold irányú késleltetés értékét. Napjainkban ez az egyik leggyakrabban használt módszer, mivel pontosabb eredményt ad, mint a Hopfield és a Black modellek.

A Niell-féle leképezési függvény:

$$F_d(E) = \frac{1 + \frac{a}{1 + \frac{b}{1 + c}}}{\sin E + \frac{a}{\sin E + \frac{b}{\sin E + c}}} + \delta F_d(H, E) \quad (5.32)$$

ahol az egyes együtthatók a földrajzi szélességtől és az év január elsejétől eltelt napjainak számától függenek:

$$a(\varphi, t) = a_{\text{átlag}}(\varphi_i) + a_{\text{amplitúdó}}(\varphi_i) \cos\left(2\pi \frac{t - t_0}{365,25}\right) \quad (5.33)$$

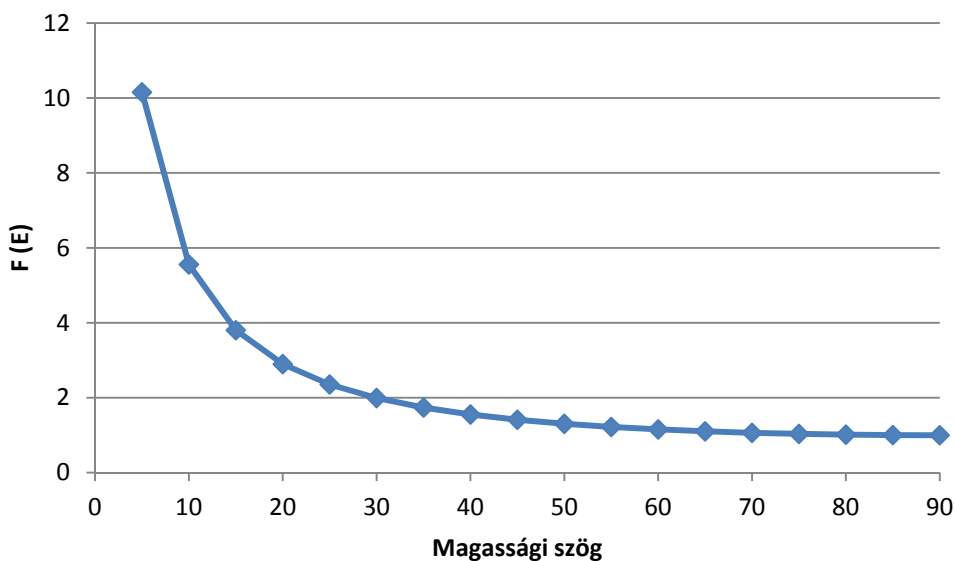
az $a_{\text{átlag}}$ és $a_{\text{amplitúdó}}$ értékek függvényeit táblázatos formában adják meg, t_0 pedig az év 28. napja. a tengerszint feletti magasságtól függő korrekció értéke pedig:

$$\delta F_d(H, E) = \left[\frac{1}{\sin E} - f(E, a_{\text{mag}}, b_{\text{mag}}, c_{\text{mag}}) \right] \cdot H, \quad (5.34)$$

ahol f az (5.32) képlettel számítható lánc tört értéke.

A troposzféra okozta késleltetés átlagos értéke zenitirányban 2,3 méter, amelyből mintegy 90%-ot tesz ki a hidrosztatikus késleltetés, a maradék 10% pedig a nedves késleltetés. A hidrosztatikus késleltetés a légnyomás függvényében meglehetősen jól modellezhető. Az 5.1 ábrán a ferdeségi szorzó értéke látható az év 200. napjára, $H=100\text{m}$

magasságban. Az ábrából jól látható, hogy az átlagos 2,3 méteres késleltetés 30°-os magassági szög mellett már eléri az 5 métert, míg 5 fokos magassági szög esetén a hatás már jóval meghaladja a 20 métert.



5.1. ábra A ferdeségi szorzó értéke a magassági szög függvényében

7. feladat

Határozzuk meg a műholdirányú troposferikus késleltetés értékét a 4. feladat eredményei alapján a Hopfield modell segítségével!

1. A leképezési függvények alapján meg kell határoznunk a „száraz” és a „nedves” ferdeségi szorzótényezőt:

$$F_d = \frac{1}{\sin \sqrt{E^2 + 6,25}} = 1,112, \text{ és}$$

$$F_w = \frac{1}{\sin \sqrt{E^2 + 2,25}} = 1,112.$$

2. A műhold irányú teljes késleltetés:

$$TD = F_d \cdot ZHD + F_w \cdot ZWD = 2,63 \text{ m}$$

8. feladat

Határozzuk meg az 5. feladat eredményei alapján a műhold irányú késleltetés értékét a Black-modell segítségével!

1. A leképezési függvények alapján meg kell határoznunk a „száraz” és a „nedves” ferdeségi szorzótényezőt:

$$F_d = \frac{1}{\sqrt{1 - \left[\frac{\cos E}{1 + (1 - l_c) \frac{h_d}{r_s}} \right]^2}} = \frac{1}{\sqrt{1 - \left[\frac{\cos 64^\circ}{1 + (1 - 0.85) \frac{h_d}{6380137}} \right]^2}} = 1,112, \text{ és}$$

$$F_d = \frac{1}{\sqrt{1 - \left[\frac{\cos E}{1 + (1 - l_c) \frac{h_w}{r_s}} \right]^2}} = \frac{1}{\sqrt{1 - \left[\frac{\cos 64^\circ}{1 + (1 - 0.85) \frac{13000}{6380137}} \right]^2}} = 1,112$$

2. Így a műhold irányú teljes késleltetés:

$$TD = F_d \cdot ZHD + F_w \cdot ZWD = 2,75 \text{ m}$$

5.2. A többutas terjedés

A GNSS vevő antennája környezetében elhelyezkedő objektumok a mérőjeleket visszaverik, így az antennákba tulajdonképpen direkt és indirekt jelek interferenciájával előállt jelkombináció érkezik meg. A kódmérések esetén a többutas terjedés hatása akár több tíz méter is lehet, ugyanakkor a fázismérésnél a szinuszos jelek interferenciájából periodikus jel jön létre, ezáltal a ciklikus ismétlődések hatására a többutas terjedés hatása csupán néhány centiméter és hosszabb mérési periódusok esetén ki is átlagolható. Ugyanakkor a valós idejű kinematikus technikák előretörésével a többutas terjedés is egy fontos hibahatássá vált, hiszen RTK méréseknél a pontokon csupán néhány másodpercet töltünk, amikor a rövid mérési periódus nem teszi lehetővé a többutas terjedés hatásának automatikus kiküszöbölését a mérési sorozatból.

A következőkben tekintsük át a többutas terjedés hatását a fázismérésekre. Legyen a direkt terjedésű jel amplitúdója:

$$A_D = a \cos \varphi, \tag{5.35}$$

ezen kívül legyen egyetlen visszaverődött jel, amelynek amplitúdója:

$$A_R = a_R \cos \varphi_R, \tag{5.36}$$

ahol

$$a_R = k \cdot a \quad \text{és} \quad \varphi_R = \varphi + \Delta \varphi. \tag{5.37}$$

Az (5.37) képletben k az ún. reflexiók tényező, értéke 0 és 1 közötti, és a jelerősség csökkenését fejezi ki. $\Delta \varphi$ pedig a visszavert jel fáziseltérését mutatja, ami a hosszabb megtett útnak köszönhető.

Az antennába a két jel eredője érkezik meg:

$$A = A_D + A_R = a \cos \varphi + ka \cos(\varphi + \Delta \varphi) = a \cos \varphi + ka \cos \varphi \cos \Delta \varphi + \\ - ka \sin \varphi \sin \Delta \varphi = (1 + ka \cos \Delta \varphi) \cos \varphi - (ka \sin \Delta \varphi) \sin \varphi \quad (5.38)$$

Az eredő jel önmaga is periodikus, és felírható az alábbi alakban:

$$A = k_M a \cos (\varphi + \Delta \varphi) \quad (5.39)$$

A fenti képletet átalakítva a jól ismert trigonometriai azonosságok segítségével:

$$A = (k_M \cos \Delta \varphi_M) a \cos \varphi - (k_M \sin \Delta \varphi_M) a \sin \varphi \quad (5.40)$$

Az (5.38) és (5.40) képletek összevetéséből az alábbi egyenleteket kapjuk:

$$k_M \cos \Delta \varphi_M = 1 + k \cos \Delta \varphi \\ k_M \sin \Delta \varphi_M = k \sin \Delta \varphi \quad (5.41)$$

Az (5.41) egyenleteket négyzetre emelve és összeadva megkapjuk k_M értékét, míg elosztva őket egymással φ_M értéke számítható:

$$k_M^2 = 1 + k^2 \cos^2 \Delta \varphi + 2k \cos \Delta \varphi + k^2 \sin^2 \Delta \varphi = 1 + k^2 + 2k \cos \Delta \varphi \\ \Downarrow \\ k_M = \sqrt{1 + k^2 + 2k \cos \Delta \varphi} \quad (5.42)$$

$$\tan \Delta \varphi_M = \frac{k \sin \Delta \varphi}{1 + k \cos \Delta \varphi} \quad (5.43)$$

Nézzünk meg egy egyszerű példát a többutas terjedés fázistávolságokra kifejtett hatásáról. Legyen a visszaverődés tökéletes, azaz a visszavert jel ugyanolyan amplitúdójú, mint a direkt jel ($k=1$). Ekkor:

$$k_M = \sqrt{1 + k^2 + 2k \cos \Delta \varphi} = \sqrt{2(1 + \cos \Delta \varphi)} = 2 \cos \frac{\Delta \varphi}{2} \quad (5.44)$$

és

$$\tan \Delta \varphi_M = \frac{k \sin \Delta \varphi}{1 + k \cos \Delta \varphi} = \frac{\sin \Delta \varphi}{1 + \cos \Delta \varphi} = \tan \frac{\Delta \varphi}{2} \Rightarrow \Delta \varphi_M = \frac{\Delta \varphi}{2} \quad (5.45)$$

azaz az interferencia eredményeképpen az antennába érkező jel amplitúdója $2 \cos \frac{\Delta \varphi}{2}$ szerese lesz az eredeti jelnek, míg a fáziseltérés értéke $\frac{\Delta \varphi}{2}$. Mivel a két jel között a maximális fáziseltérés $\pm 180^\circ$ lehet, így meghatározhatjuk a többutas terjedés fázistávolságokra kifejtett hatását különböző fáziseltérések ($\Delta \varphi$) esetére. A fázistávolságokra kifejtett hatás kiszámítható az alábbi képlettel:

$$\Delta = \frac{\Delta \varphi_M}{2\pi} \lambda \quad (5.46)$$

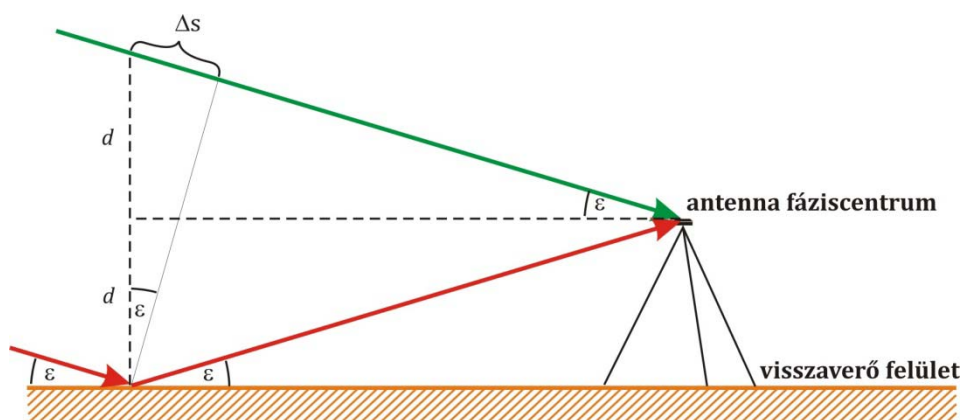
A visszavert jel $\Delta \varphi$ fáziseltérése a visszaverő felület elhelyezkedéséből is meghatározható az 5.2 ábra segítségével:

$$\Delta \varphi = \frac{\Delta s}{\lambda} 2\pi = \frac{2d}{\lambda} 2\pi \sin \varepsilon \quad (5.47)$$

Az (5.47) képletből látható, hogy $\Delta\varphi$ és ennek következtében $\Delta\varphi_M$ is periodikus jel. A jel periódusa általában nagyobb mint 10 perc, ezáltal csak az ennél rövidebb idejű méréseknél okoz problémát. A modern GNSS antennák különféle eljárásokkal csökkentik a visszaverődések okozta multipath hatást. A legegyszerűbb eset az árnyékolólemezek használata, egyes antennák dobozát pedig rádióhullám elnyelő festékkel vonják be. Egy másik eljárás az choke-ring elemek használata, amikor az antennát koncentrikusan elhelyezett hengerekkel veszik körbe, ezáltal csökkentve a visszavert jelek antennába jutásának lehetőségét.

$\Delta\varphi$ [°]	$\Delta\varphi_M$ [°]	k_M	Δ [cm]
0	0	2	0
30	15	1,93	0,79
60	30	1,73	1,58
90	45	1,41	2,38
120	60	1,00	3,17
150	75	0,52	3,96
180	90	0	4,75

5.1 táblázat: A többutas terjedés hatása a fázistávolságokra



5.2 ábra: A többutas terjedés hatásának becslése a fázistávolságokra

5.3. A ciklusugrás

Ciklusugrásról akkor beszélünk, ha az észlelt műhold kitakaró objektum mögé kerül, majd a pályáján tovább haladva ismét előbukkan és észlelhetővé válik. Mivel ekkor nem biztosítható a folyamatos fázismérés, ezért a mérés kezdetétől végzett ciklusszámlálás megszakad, majd az újra észleléstől tovább folytatódik.

Mivel a fázisméréshez a műholdak folyamatos követésére és a (4.8) képletben szereplő n tag számlálására van szükség, ezért vagy meghatározzuk a kieső egész ciklusok számát vagy a feldolgozás során az újraészlelés pillanatában egy új ismeretlen ciklustöbbletűséget vezetünk be. Ha ezt elmulasztjuk, akkor hibás fázistávolságokhoz fogunk jutni.

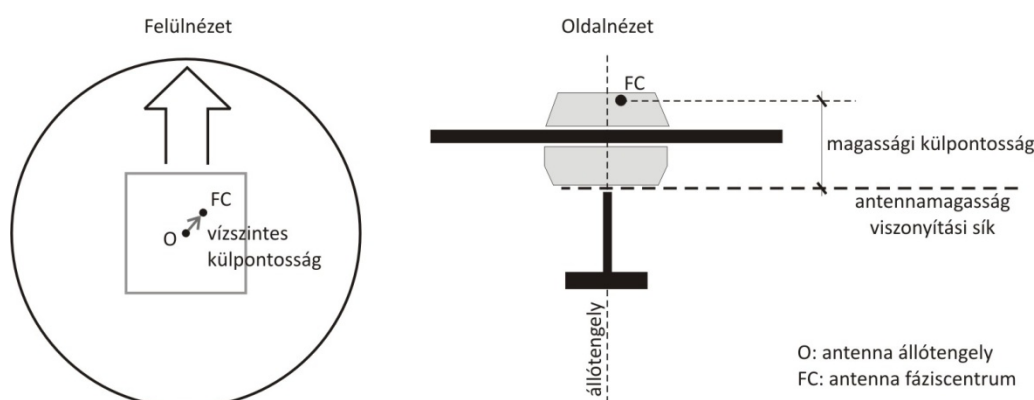
A ciklusugrás ennek következtében egy veszélyes hibaforrás. Hatásának elkerülése érdekében általában körültekintően választjuk meg az álláspontot, arra törekedve, hogy a

környezetben ne legyenek kitakaró objektumok. A gyakorlatban azonban sok esetben ezt az elvet nem tudjuk követni (pl. városi méréseknél), ezért a feldolgozószoftverek relatív helymeghatározás esetén képesek a ciklusugrások megkeresésére és további kezelésére. Erre a célra a relatív helymeghatározásban a hármas differenciák képzése szolgál, amelyről majd a későbbiekben lesz részletesen szó.

5.4. Az antennák fáziscentrumának külpontossága

Az antenna nem a geometriai középpontban észleli a műholdak jeleit, hanem az elektronikai középpontban (fáziscentrumban). Ez a két pont általában nem egyezik meg egymással. Vízsíntes fáziscentrum külpontosság alatt a fáziscentrum és az antenna geometriai középpontjának függőlegese közötti eltérést értjük. A vízszintes fáziscentrum külpontosság nagyságrendileg néhány mm-es. Magassági fáziscentrum külpontosság alatt a fáziscentrum és a antennamagasság viszonyítási pont közötti magasságkülönbséget értjük.

A feldolgozószoftverek a fáziscentrumok koordinátáit határozzák meg. Ha ismerjük a fáziscentrum-külpontosságok értékeit, akkor a meghatározott koordináták átszámíthatók a meghatározandó pontokra (alappontok, részletpontok). A feldolgozószoftverek általában ismerik ezeket az értékeket, így elegendő beállítani az antenna-típusokat a feldolgozás során. Meg kell azonban említenünk, hogy az antennamodellek alkalmazásakor nagyon körültekintően kell eljárunk. Egy-egy hibás antennamodell a magassági koordináták meghatározásában akár deciméteres hibákat is okozhat!



5.3 ábra: Az antenna fáziscentrumának külpontossága

A fáziscentrum helyzete a térben azonban nem állandó. A külpontosság értéke függ a beérkező jel frekvenciájától, a jel magassági szögétől és azimutjától is. A fáziscentrum-külpontosság mértékét és annak változását különféle kalibrációs eljárások során határozzák meg egy-egy antennatípusra vagy nagyobb pontossági igények esetén minden egyes antennára egyedileg is.

Az antennakalibrációs eljárások között megkülönböztethetünk relatív és abszolút kalibrációs eljárásokat. Relatív eljárások esetén a kalibrálandó antennát valamilyen referenciaként kiválasztott antennához képest kalibrálják, míg abszolút antennakalibráció esetén nincs ilyen referencia antenna. Az utóbbi esetben a fáziscentrum külpontosság abszolút értékét határozzák meg vagy műholdjelek és egy antennaforgató robot segítségével (pl. Hannoveri Egyetem), vagy pedig süetkamrában elhelyezett jelgenerátor segítségével (pl. Bonni Egyetem).

5.4.1. A fáziscentrum külpontosságának figyelembevétele

A fáziscentrum külpontosság figyelembevétele a mérések feldolgozása során többféleképpen is történhet:

- Ha ugyanolyan antennatípusokat használunk a hálózatban, akkor a hatás kiküszöbölhető, hiszen az antennák észak felé tájolása esetén a fáziscentrumok mindegyik ponton ugyanolyan irányban és ugyanolyan mértékben külpontosak (feltéve, hogy nincs egyedi eltérés az antennák között). Ezáltal a meghatározott vektorok hossza és iránya nem tartalmazza a fáziscentrum külpontosság hatását.
- Ismételt méréseknél (pl. mozgásvizsgálatok) ügyelnünk kell arra is, hogy az egyes pontokon mindig ugyanaz az antenna kerüljön elhelyezésre. Ezáltal a különböző epochák között az antennák fáziscentrum külpontosságának eltérései nem okoznak koordinátaváltozást.
- Különböző antennák esetén szükséges a fáziscentrum-modellek figyelembevétele (magasságilag több cm-es hibát is okozhatunk, míg vízszintesen a hiba mm-es nagyságrendű)
- Ismételt méréseknél, illetve nagy pontossági igények esetén (ideértve a GNSS infrastruktúra kialakítását is) fontos az antennák egyedi kalibrációja.